

Albittrike bergarter i den karelske fjellkjede på Finnmarksvidda, Nord-Norge

AV
TORE GJELSVIK
Med 3 tekstfigurer

Abstract

Greenschists and alternating, smaller beds of graphite schists, felsites, together with intrusive rocks of diabasic and granitoid character, all belonging to the Karelidic orogeny, show strong enrichment of albite. Chemical analyses demonstrate the Na₂O content amounting to 10 per cent. Details of the most albite rich rocks are given. It is suggested that the intrusive rocks are derived from palingenic magmas, inheriting the Na₂O richness from geosynclinal or early orogenic spilitization processes.

Innledning

Finske og svenske forskere har for lengst bemerket og diskutert den uppregte albittrikdom i de karelske grønnskiferformasjonene, og etter at NGU i 1954 begynte kartleggingen av de tilsvarende formasjoner i Norge, har også vi begynt å blande oss i diskusjonen (ref. Padget o. a. NGU nr. 201). I den vestlige del av Finnmarksvidda er både kopper- og uran-mineralisering forbundet med albittrike bergarter, og jeg har derfor underkastet dem en nærmere petrografisk og geokjemisk undersøkelse.

Først et par ord om de alminnelige geologiske forhold innen grønnskiferformasjonen på Finnmarksvidda. Det henvises til kartet, pl. I i NGU nr. 201. Den største sone finnes omkring sjøen Stuorajvre, og er særlig godt blottet på fjellet Časkias i NV, hvorfor serien er blitt kalt Časkias-gruppen. Den omfatter nær sagt alle typer grønne steiner, basalter, pyroklastiske lag, sedimenter og forskjellige intrusjoner, særlig av gabbroid karakter. En tydelig regionalmetamorfose

har gitt bergartene en fremtredende skifrigåhet og omkristallisering i grønnskifer- og epidot-amfibolitt facies, og bare unntaksvis kan finnes sikre primærkarakterer. Best bevart er intrusjonene, som kan være sentektoniske, i enkelte distrikter muligens post-tektoniske. (Padget s. 54.)

Etter min mening består selve Časkiasfjellet vesentlig av omvandlete sedimentære lagpakker og marint omleirete tuffer, i mindre grad av lavadekkere. Dette fremgår av de små mektigheter av de forskjellige lag, deres lagdelte karakter, og den hyppige opptreden av små kalklag, og i mindre grad av svartskifer og pelitisk betonte lag. Lagene er intenst foldet, ofte isoklinalt, etter N-S gående akser.

Jeg vil nedenfor behandle de forskjellige Na-rike bergarter under følgende avdelinger:

1. Grønnskifre i vid forstand, og dermed sammenhengende svartskifre, pelittiske skifre, og felsitter.
2. Diabas-struerte intrusiver: albittdiabas og leucodiabas.
3. Granitt og syenitt.

Den første gruppen utgjør den store masse, av gruppe 2 spiller albittdiabasene en ganske stor rolle, mens leucodiabasene bare er funnet i små mengder i to områder, på Časkias og i Njallaav'zi. 3 større massiver og en rekke ganger av Na-rike granitter er funnet i den nordlige del av grønnsteinsområdene, enten innenfor, eller langs grensene. Syenittene er få og små.

Den kjemiske karakter fremgår av tabellene 1, 2, og 3. I tabell 4 er oppført en del gjennomsnittsanalyser til sammenligning. Som det sees skiller Časkias- og Njallaav'zi områdene seg ut ved en helt gjennomgående, tildels ekstrem Na-rikdom, og tilsvarende K-fattigdom. Særlig utpreget er felsittene, leucodiabasene, granittene og syenittene. Før den avsluttende diskusjon skal disse bergartene omtales i mere detalj.

Leucodiabas.

Denne opptrer i Finnmark i regelen i linseformete, konkordante og skarpt begrensete legemer av beskjedne dimensjoner, sjeldent mer enn noen få m's bredde og et 10-tall m's lengde. Unntaksvis forekommer den i gjennomsettende ganger av ennå mindre dimensjoner, eller som randfacies, forbundet med jevne overganger til større albitt-diabaser. Fra Finland og Sverige er den rapportert som gangaktige masser av tildels gjennomsettende karakter. (Ødman 1939 s. 36.)

Tabel I

Gronnskifer - Glimmerskifer - Svartskifer - Felsitter
Greenschist - *Micaschists* - *Graphite schists* - *Felsites*

Časkias												Njallaav'zi							
	1	2	3	4	5	6	7	8	9	10	11	12	13	14	15	16	17	18	19
Na ₂ O	4.17	4.32	4.43	5.02	4.17	5.85	6.04	7.14	7.45	2.54	3.21	6.03	9.33	7.12	9.26	9.66	4.83	6.56	8.71
K ₂ O	0.25	0.20	0.15	0.10	0.08	0.12	0.11	0.09	0.11	2.00	2.59	1.46	0.19	0.66	0.13	0.16	4.54	2.71	0.12
Main mins.	hbl chl hbl ab ore	hbl chl hbl ab ore	hbl qz ab/ol	hbl ab qz hbl	hbl ab carb ore	hbl ab carb ore	hbl ab carb ore	hbl ab carb ore	hbl ab carb ore	bi qz ab	bi qz ab	bi qz ab	bi olig	bi graph	bi graph	carb ore	carb ore	carb ore	carb ore
Access. cess.	ep	ore	ore	ore	ore	?qz ore	bi chl	bi chl	ore	ore	ore	ore	chl	chl	chl	chl	chl	chl	chl

No. 1. Coll. no. T7/234 Amygdaloidal grønnskifer, Časkias O. Samsynligvis opprinnelig basaltisk lava.

Amygdaloidal greenschist, Časkias E. Supposed original basaltic lava.

» 2. — T7/238 Kloritrik grønnskifer, Časkias O. Samsynligvis opprinnelig basaltisk lava eller tuff.

Chlorite rich greenschist, Časkias E. Supposed original basaltic lava or tuff.

» 3. — T7/254 Brunlig forvitrende grønnskifer, Časkias V. Samsynligvis opprinnelig basaltisk lava eller tuff.

Brown weathering greenschist, Časkias W. Supposed original basaltic lava or tuff.

» 4. — T7/277 Flintaktig grønnskifer, Biddjovagge. Samsynligvis opprinnelig basaltisk lava eller tuff.

Flinty greenschist, Biddjovagge. Supposed original basaltic lava or tuff.

» 5.	—»—	T7/221	Finbandet grønnskifer, Stallovare, Sannsynligvis sedimentær grønstein. <i>Fine banded green-schist, Stallovare. Supposed sedimentary greenstone.</i>
» 6.	—»—	T7/281	Båndet hornblendeskifer, Biddjovage. Samssynligvis sedimentær grønstein. <i>Banded hornblende schist, Biddjovage. Supposed sedimentary greenstone.</i>
» 7.	—»—	T7/330	Båndet hornblendeskifer, Biddjovage. Samssynligvis sedimentær grønstein. <i>Banded hornblende schist, Biddjovage. Supposed sedimentary greenstone.</i>
» 8.	—»—	T7/319	Lys grønnskifer, Biddjovage. Samssynligvis sedimentær grønstein. <i>Light-colored green-schist, Biddjovage. Supposed sedimentary greenstone.</i>
» 9.	—»—	T7/315	Lys grønnskifer, Biddjovage. Samssynligvis sedimentær grønstein. <i>Light-colored green-schist, Biddjovage. Supposed sedimentary greenstone.</i>
» 10.	—»—	T7/287	Glimmerskifer, Biddjovage. Opprinnelig pelitisk lag. <i>Micaschist, Biddjovage. Original pelitic bed.</i>
» 11.	—»—	T7/288	Glimmerskifer, Biddjovage. Opprinnelig pelitisk lag. <i>Micaschist, Biddjovage. Original pelitic bed.</i>
» 12.	—»—	T7/253	Graffitskifer, Časkias W. Opprinnelig kulfoldig sediment. <i>Graphite schist, Časkias W. Original carbonaceous bed.</i>
» 13.	—»—	T7/358	Graffitskifer i malmsonen, Biddjovage. Opprinnelig kulfoldig sediment. <i>Graphite schist in ore zone, Biddjovage. Original carbonaceous bed.</i>
» 14.	—»—	T7/306	Flintaktig felsitt, Biddjovage. Samssynligvis opprinnelig keratofyr. <i>Flinty felsite, Biddjovage. Supposed original keratophyre.</i>
» 15.	—»—	T7/342	Båndet felsitt, Biddjovage. Samssynligvis opprinnelig sediment. <i>Banded felsite, Biddjovage. Supposed original sedimentary rock.</i>
» 16.	—»—	T7/303	Felsittisk keratofyr, Biddjovage. <i>Felsitic keratophyre, Biddjovage.</i>
» 17.	—»—	S7/139	Felsitt, lagdelt serie, Njallaav'zi. Sannsynligvis sedimentært lag. <i>Felsite, bedded formation, Njallaav'zi. Supposed sedimentary formation.</i>
» 18.	—»—	S7/199B	Felsitt, inneslutning i karbonatbreksje, Sišosava. Samssynligvis sedimentært lag. <i>Felsite, inclusion in carb. breccia, Sišosava. Supposed sedimentary formation.</i>
» 19.	—»—	S7/176	Felsitt, inneslutning i karbonatbreksje, Njallaav'zi. Samssynligvis sedimentært lag. <i>Felsite, inclusion in carb. breccia, Njallaav'zi. Supposed sedimentary formation.</i>

Tabell II
Diabas-lignende bergarter
Diabasic-rocks

Časkias								Njallaav'zi	
	1	2	3	4	5	6	7	8	9
Na ₂ O	3.06	6.10	7.07	7.96	9.49	10.35	7.32	7.53	8.00
K ₂ O	0.31	0.28	0.12	0.27	0.47	0.08	0.05	0.34	0.10
Main mins.	hbl hbl oligo	ab hbl carb	ab hbl carb	ab sphene hbl	ab bi hbl	ab carb chl	ab qtz hbl	ab carb bi	ab carb
Access.	chl ore carb	ore pr musc bi chl carb	chl ore (bi.chl)	ep ser qtz	ep carb chl	carb ap ore	chl ap rut ore	rut ore	rut ore

- No. 1. Coll. no. T7/282 Hornblenderik albittdiabas. Biddjovagge.
Hornblenditic albite diabase. —»—
- » 2. —»— T7/329 Feltspatrik albittdiabas. —»—
Feldspar-rich albite diabase. —»—
- » 3. —»— T7/326B Karbonatrik leucodiabas. —»—
Carb.rich leuco diabase. —»—
- » 4. —»— T7/ 305 Titanittrik leucodiabas. —»—
Sphene-rich leuco diabase. —»—
- » 5. —»— T7/293A Porfyrisk leucodiabas. Časkias Ø.
Porphyric leuco diabase. Časkias E.
- » 6. —»— T7/324 Granofyrisk leucodiabas. Časkias Ø.
Granophytic leuco diabase. Časkias E.
- » 7. —»— T7/276 Finkornet lagergang. Biddjovagge.
Finegrained sill —»—
- » 8. —»— S7/126B Leucodiabas. Njallaav'zi.
Leuco diabase. —»—
- » 9. —»— S7/180 Leucodiabas. —»—
Leuco diabase. —»—

Tabell III

Časkias				Njalla- av'zi
	1	2	3	4
Na ₂ O	6.25	7.44	8.25	9.23
K ₂ O	4.59	1.08	1.47	0.15
Access.	Main mins.	ab micr qtz	ab/oligo hbl bi	ab
	ga	hbl	ep	
		micr	ap	carb
		bi	micr	hem
		ore	chl	bi
		ap		chl
		sphene		qtz
		carb		
		zr		

No. 1. Coll. no. T7/230 »Granitt», lagergang, Gædasčokka.
“Granite”, sill, Gædasčokka.

» 2. —»— T7/246 «Granitt», Niednjajok, Časkias.
“Granite”, Niednjajok, Časkias.

» 3. —»— T7/202 «Granitt», lagergang, Gædasčokka.
“Granite”, sill, Gædasčokka.

» 4. —»— S7/156 «Syenitt», Njallaav'zi.
“Syenite”, Njallaav'zi.



Albitt utgjør ofte mer enn 80—90 %. Den har gjerne en utpreget listeform og ligger uorientert i diabasmønster (fig. 1). Lengden av krystallene varierer oftest mellom 0,5 og 1, maks. 2—3 mm, og bergarten er således finkornet. Av og til finnes mørre isometriske feltspatkorn, ofte da litt porfyriske (fig. 2), i kontaktsoner også litt sonare. Feltspaten er alltid meget Na-rik, omkring An₅, i de sonare må den ha vært noe mørre kalkrik, men neppe langt over grensen til oligoklas. Den er i regelen også frisk av utseende. Kvarts finnes av og til i små mengder, og karbonatmineraler er oftest til stede, gjerne på gjennomsettende årer, eller i mellomrom mellom feltspatlistene. Mørke mineraler er ofte så underordnet at de må betegnes som aksessoriske, vanligst er hornblende, dernest biotitt og kloritt, enkelte har forbausende mye

titanitt. Ved tiltagende gehalt av hornblende går leucodiabas jevnt over i albittdiabas. Samtidig viser plagioklasen, ved avkalkningsstrukturer og større epidotinnhold, at den primært har vært mere kalkrik.

Leucodiabas-linsene opptrer gjerne i sterkt tektoniserte soner, men bærer selv sjeldent preg av kataklase.

Felsitt.

Av denne finnes to typer. I et antiklinalområde på Časkias finnes en flintaktig utseende type assosiert med svartskifer, omhyllet av grønnskifer, og intrudert av albittdiabas og leucodiabas. Som de øvrige skifre her er den svært tektonisert. Denne felsitt opptrer ikke i utholdende lag, men kan heller ikke påvises å være gjennomskjærende. Den er alltid rikere på albitt enn på kvarts, om enn mengdeforholdet er noe varierende. Kornstørrelsen er ennå en orden under leucodiabasens, mellom 0,01 og 0,1 mm. Bortsett fra tektoniske effekter viser felsitten ytterst sjeldent orienterte strukturer. Av og til finnes reliktstrukturer av eruptiv opprinnelse; de minner en del om leucodiabasens men er mere porfyriske med fenokrystaller av albitt ca. 10 ganger større enn grunnmassens (fig. 3). Denne felsitttype kan betegnes som keratophyr, om det dermed menes en sur, albittrik metalava assosiert med spilit. Alternativt, men mindre sannsynlig, er den en oppknust leucodiabas. Strukturen er imidlertid så forskjellig at dette alternativet vil kreve to aldersgrupper av leucodiabas, adskilt av en sterk tektonisk fase.

Den annen felsitt-type finnes i karbonatbreksjeområdene nær finskegrensen helt i syd-vest, nær Dæno Muotke. Den finnes overveiende som fragmenter i breksjen, men mye tyder på at den har utgjort flere sammenhengende lag. I tillegg til hovedmineralene, albitt og kvarts, har den av og til litt mikroklin, gjerne litt jernoksyder, et karakteristisk aksessorium er rutil. Kornstørrelsen er litt større enn i den førstnevnte type, reliktstrukturer av eruptiv karakter er ikke iakttatt. Foreløpig antar jeg at denne felsitt-type er av sedimentær opprinnelse.

Na-granitt og -syenitt.

«Granitt» utgjør dels ganske store massiver, dels mindre lager-ganger, konkordante eller svakt gjennomskjærende grønnskifrene. De sender også apofyser inn i albittdiabasene og kontaktomvandler disse. Mot grensen blir de ofte mere finkornige, og de har utpreget intrusive kontakter, av og til med sonar plagioklas i porfyrisk utvik-



Fig. 1. Leucodiabas med nesten bare albitt. $15 \times$.
Leucodiabase consisting nearly exclusively of albite. $\times 15$.

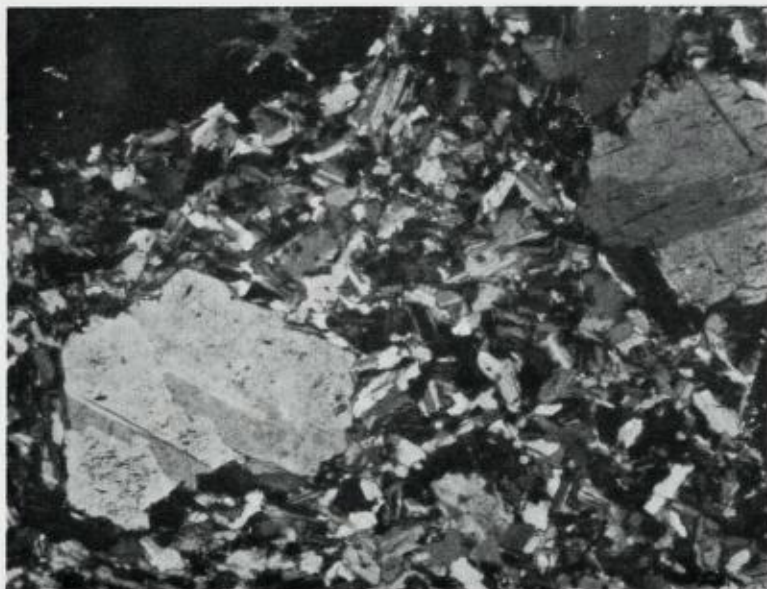


Fig. 2. Porfyrisk leucodiabas. $45 \times$. Fot. T. Gjelsvik.
Porphyritic leucodiabase. $\times 45$.

ling. Strukturen ellers middelskornet, retningsløs, foliasjon finnes i regelen bare i lagerganger.

Mineralogisk består den overveiende av en meget sur plagioklas, i regelen albitt. Denne har ofte et litt sløret, serisittisert kjerneparti, men klar randsone, i andre tilfelle er albitten frisk. Mikroklín er helt underordnet, interstittiel, og ledsaget av myrmekitt. Synes ofte å replasere plagioklas. Kvarts finnes alltid i albittgranitten, men i vesentlig mindre mengder enn vanlig i granitter, og enkelte lagerganger er så godt som kvartsfrie. Hornblende og biotitt, av og til litt klorittiserte, finnes i små mengder. Det er mulig at kvartssyenitt ville være en bedre betegnelse enn granitt for gruppen.

I Njallaav'zi området finnes en lagerganglignende forekomst av Nas-syenitt, som «hostrock» for uranmineralisering. Den består helt overveiende av albitt i opptil 2 cm grove krystaller, med underordnet mengde av grønn hornblende og biotitt. Strukturen er hypidiomorf granular, men gir ikke sikre holdepunkter for en magmatisk opprinnelse. No. 4 i tabell 3 representerer en type særlig fattig på mørke mineraler. Bergarten er etter sin konsolidering blitt utsatt for breksjering og uranmineralisering, forbundet med karbonatisering. (Gjelsvik 1957.)

Ved Kautokeino elv syd for samebyen har Pehkonen funnet en intrusiv syenittforekomst av liknende karakter, bl. a. også med breksjering og karbonatisering. Den holder også litt primær kvarts, litt lys kloritt, samt mikroklín, epidot, apatitt og ertsmineraler som aksessosriske bestanddeler.

Albitt-karbonat paragenesen.

Som det fremgår av ovenstående, er påfallende mange av albittbergartene assosiert med karbonat. I de fleste tilfellene jeg har undersøkt opptrer karbonatet replaserende, og en breksjeringsfase skiller ofte mellom albittdannelsen og karbonatiseringen. I disse tilfelle er ikke albitt og karbonat i likevekt, i ekstreme tilfelle har karbonatet fortrengt albittbergarten slik at bare små relikter av den kan ses, og da bare ved mikroskopets hjelp.

Diskusjon.

Jeg skal ikke gi her noe historisk tilbakeblikk på spilittdiskusjonen, men det bør nevnes at oppfatningen av de genetiske prosesser har variert fra modifisert magmatisk, over postmagmatisk, til rent regional-metasomatisk.

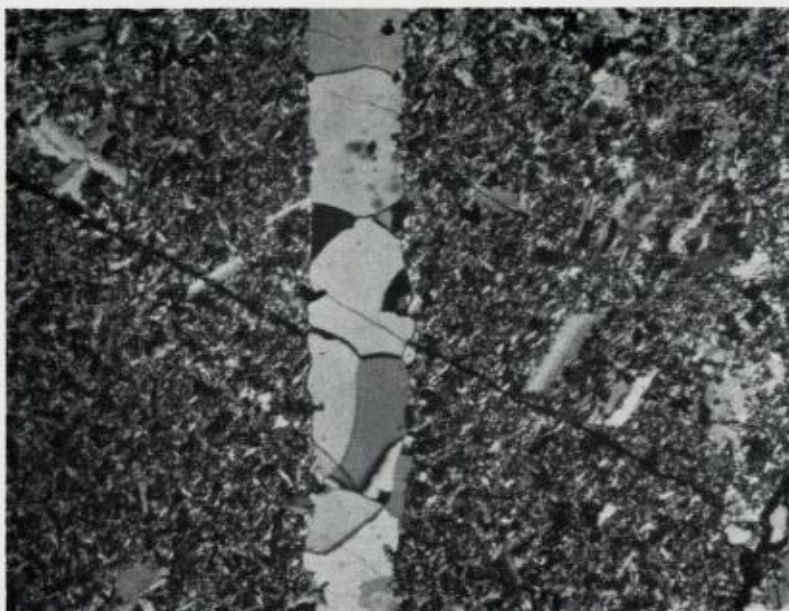


Fig. 3. Felsitt med porfyrisk struktur i fenokrystaller av albitt i grunnmasse bestående av albitt og litt serisitt. Sistnevnte, sammen med den gjennomskjørende kvartsåre, henger sammen med sulfidmineralisering. $45 \times$. Fot. T. Gjelsvik.

Felsite showing porphyritic structure: albite phenocrysts in a ground mass of albite and a little sericite. The latter, and the crosscutting quartz vein, is related to sulphide mineralization. $\times 45$.

For en så omfattende albitt-rikdom som det er tale om i Finnmark, er det fristende å påkalle en diffusjon av regionalmetasomatisk karakter. Imidlertid lar hverken albittgranitten eller leucodiabasen seg forklare ad metasomatisk vei. Alle som har studert dem på norsk side holder den førstnevnte for eruptiv. Hva den sistnevnte angår, tyder alle felldata på en magmatisk differensiasjon og intrusjon, selv om det kan diskuteres hvorvidt plagioklasen opprinnelig har vært mer basisk. (Mener man at det har vært tilfelle, foreligger i så fall her et lenge ettersøkt eksempel på en magmatisk anorthositt.) En kan så ty til den rent magmatiske teori, at det skulle foreligge et «spilitisk» stam-magma. En sammenligning med de data som er gitt i tab. 4 synes imidlertid å gi støtte til denne mulighet. Således er Mikkolas «gjennom-snittsmagma» for Lapplandske grønnsteiner nokså nær platåbasaltens.

Det er tydelig at albitrike bergarter er blitt dannet til forskjellige tider. De nevnte eruptive typer er sen- eller postorogene. Blant de

Tabell IV

	I	II	III	IV	V
Na ₂ O	3.17	3.26	4.40	3.30	2.59
K ₂ O	0.59	0.88	4.07	5.06	0.69

- I. Gjennomsnittssammensetning av «grønnsteinmagma» i Lappland. E. Mikkola, 1941. P. 260.
Average "greenstone magma" of Lapland.
- II. Gjennomsnittssammensetning av 3 albittdiabaser. E. Mikkola, 1941. Pp. 249—51.
Average composition of 3 albite diabases.
- III. Gjennomsnittssammensetning av Lappland syenitter (3 fra Sverige, 3 fra Finnland). E. Mikkola, 1941. P. 277.
Average composition of Lapland syenites (3 from Sweden, 3 from Finland).
- IV. Gjennomsnittssammensetning av sen-kinematiske granitter. A. Mikkola 1949. P. 54.
Average composition of late-kinematic granites.
- V. Gjennomsnittssammensetning av jordens platåbasalter. R. A. Daly, 1933. P. 17.
Average composition of world plateau basalts.

albitrike skifre er det enkelte som har fått denne karakter allerede ved sedimentasjonen. Det gjelder f. eks., etter Mikkolas oppfatning, enkelte svartskifre og gråvakter assosiert med grønnsteiner. (Mikkola s. 207-208.) I tid spenner albittdannelsen fra den initiale vulkanisme, over den synorogene til den subsemente vulkanisme, for å tale i Stille's termer. *Arealmessig er den imidlertid vesentlig begrenset til grønnskiferformasjonene og deres grenser.*

Dette peker i retning av at såvel diabasinrusjonene som granittintrusjonene kan ha sin rot i *palingene* magmaer. Men dette forutsetter for de førstes vedkommende at albittgehalten ikke i større grad blir «svettet» ut av systemet under gjenoppsmeltningsprosessene. Er dette riktig, er deres Na-rikdom bare en arv fra en forutgående spilitisering, og vi er da tilbake til problemet om albittiseringen av grønnskifrene. Er den regionalmetamorf eller magmatisk betinget? Å føre bevis for den sistnevnte mulighet ut fra feltiakttagelsene i den vestlige del av Finnmarksvidda, hvor tektoniseringen og regionalmetamorfosen har vært såvidt intens, lar seg vanskelig gjøre, og vil kreve et større analysemateriale enn jeg har til disposisjon. La oss derfor se på den første mulighet. Den kjemiske omsetting, en fordobling av natrium-innholdet,

Tabell V

	Low chlorite zone			Chlorite zone			Biotite zone		
	1	2	3	4	5	6	7	8	9
Na ₂ O	0.05	4.80	5.47	0.97	2.17	4.69	2.62	4.20	5.93
K ₂ O	0.33	2.43	1.72	3.18	0.29	0.17	0.42	0.14	0.71
Main mins.	qtz	ab qtz	ab carb	chl ?ab qtz	hbl ab chl	hbl ab chl	hbl ab	hbl ab	ab hbl
Access.	chl	micr bi ser ore	micr bi musc ore	ore ser	ep/zoi qtz	ep	ab ?qtz carb ore	chl	sphene ore ep

- No. 1. Coll. no. T6/7A Grovkornet sandstein, Čaravarre.
Coarse grit, Čaravarre.
- » 2. —» T7/55A Lerskifer, Gæšvarre.
Argillite, Gæšvarre.
- » 3. —» T7/53 Lerskifer, Guivevarre.
Argillite, Guivevarre.
- » 4. —» T6/3A «Fyllitt», vekslende med nr. 6, Russogielas.
“Phyllite”, alternating with no. 6, Russogielas.
- » 5. —» T6/18A «Typisk» grønnskifer, Dagjeborre.
“Typical” greenschist, Dagjeborre.
- » 6. —» T6/4A Amygdaloidal grønnskifer, Russogielas.
Amygdaloidal greenschist, Russogielas.
- » 7. —» U6/179 Grønnskifer eller hornblendeskifer, Masiokka.
Greenschist or hornblende schist, Masiokka.
- » 8. —» T7/2084C Finkornet grønnskifer, Gætkebakte.
Finegrained greenschist, Gætkebakte.
- » 9. —» U6/104 Albittdiabas, Biinnejavre, Masi.
Albite diabase, Biinnejavre.

og en sterk reduksjon av kalium-innholdet, har hatt svære dimensjoner, de store masser av grønnskifre tatt i betrakting. En sterk regional-metasomatose har gjerne karakteren av replacement og porfyroblastese. Albitten i grønnskifrene utmerker seg ved å finnes i uhyre små korn, det har ikke vært mulig å konstatere at den replaserer andre krystaller. At muligheten for porfyroblastese har vært tilstede, gir

hornblenden utallige eksempler på i de samme bergarter. Det bør også bemerkes, at de mest pelittisk betonte sedimenter som gjerne er de som først blir offer for metasomatose av alkalisk karakter, i dette tilfelle synes å ha unngått den best. (Jfr. nr. 8 og 9 i tab. 1, samt nr. 6 i tab. 5.)

Jeg har latt utføre endel analyser også for områder av forskjellig metamorfosegrad, tab. 5 (jfr. fig. 13 i NGU nr. 201). For selve grønsteinenes og grønnskifrenes vedkommende finnes åpenbart ikke noen systematisk variasjon. Jeg vil forøvrig peke på den høye Na₂O-gehalten i argillittene, nr. 2 og 3 i tab. 5, som ifølge forfatteren av NGU nr. 201 er meget lav-metamorfe bergarter («lav klorittgrad»). Den synes å bekrefte at der er dannet primært Na-rike sedimenter i den geosynklinale eller tidlig-orogene periode, før regionalmetasomatosen satte inn for alvor.

En Na-metasomatose er imidlertid forbundet med den hydrotermale ettervirksomhet av den sen-orogene, gabbroide intrusivserie, som har gitt opphav til enkelte av albittkarbonatseriens bergarter, samt karbonat-kwartsganger og sulfid-mineralisering. Det er et kontaktmetasomatisk fenomen, en adinolisering, som nok kan være en medvirkende årsak til de ekstremt høye Na-gehalter omkring malmsonen på Biddjovagge, men som neppe kan forklare spilitiseringen i sin alminnelighet.

Referanser

- Daly, R. A. Igneous rocks and the depth of the earth. 1933.
Gjelsvik, T. Pitchblende mineralization in the Precambrian plateau of Finnmarksvidda, Northern Norway: Geol. Før. Førh. Bd. 79. 1957.
Mikkola, E. Muoruo-Sodankyla-Tuntsajoki. Lehdet — sheets B7 — C7—D7. Explanation to the map of rocks: Suomen Geologinen Yleiskartta. 1941.
Padgett, P. o. a. The Precambrian Geology of Vest-Finnmark, Northern Norway: N.G.U. nr. 201. 1957.
Ødman, O. H. Urbergsgeologiska undersökningar inom Norrbottens län: Sveriges Geol. Unders., Ser. C, no. 426. 1939.